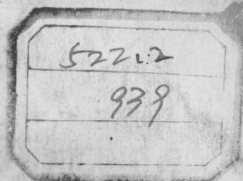


苏联电站部国家地区發电厂及綫路改进局資料

鍋爐爐膛燃燒帶的構造， 工作条件及耐火材料

苏联技术科学副博士 И. Я. 查尔金德工程师 瓦西列娃工程师著
夏 陽翻譯 陈 珩校訂

电力工业出版社



內容提要

在这本小冊子中，主要叙述燃燒帶工作的溫度條件，燃燒帶破壞的原因，以及燃燒帶的構造和組成成分。此外，為了使讀者了解燃燒帶工作條件和破壞原因，又將蘇聯電站部所屬發電廠的鍋爐爐膛里所裝置的各種構造的燃燒帶和蘇聯國家地區發電廠及線路改進局試驗室所建議的數種構造的燃燒帶的運行經驗，加以綜合說明。

本書可供在發電廠鍋爐分場內工作的技術人員參考。

МЭС СССР

ГОСУДАРСТВЕННЫЙ ТРЕСТ ПО ОРГАНИЗАЦИИ И РАЦИОНАЛИЗАЦИИ
РАЙОННЫХ ЭЛЕКТРИЧЕСКИХ СТАНЦИЙ И СЕТЕЙ „ОРГРЕС“

КОНСТРУКЦИИ, УСЛОВИЯ РАБОТЫ И ОГНЕУПОРНЫЕ МАТЕРИАЛЫ
ЗАЖИГАТЕЛЬНЫХ ПОЯСОВ КОТЕЛЬНЫХ ТОПОК

根据苏联国立动力出版社1950年莫斯科版翻譯

鍋爐爐膛燃燒帶的構造、工作條件及耐火材料

夏 陽翻譯 陳 玳校訂

*

429 R 97

電力工業出版社出版 (北京府右街26號)

北京市書刊出版業營業許可證出字第 082 号

北京市印刷一廠排印 新華書店發行

*

787×1092 $\frac{1}{16}$ 开本 * 1 $\frac{3}{16}$ 印張 * 25千字

1956年10月北京第1版

1956年10月北京第1次印刷(0001—5,100冊)

統一書號：15036·372 定價(第10類)0.19元

目 录

I、引言.....	2
II、燃燒帶工作的溫度條件.....	4
III、燃燒帶破壞的原因.....	9
IV、燃燒帶的構造.....	15
結束語.....	37

I. 引言

具有足够高的温度是煤粉爐經濟和稳定运行的条件之一；特别是在燃用含揮發分低的煤时，这一点更为重要。当煤粉爐膛里水冷壁管分佈稠密、冷却程度强时，就大大地降低了火焰的温度。在这种情况下，便不能保証良好燃燒的必要条件。在低負荷下运行时，其意义就更大。

为了改善燃燒条件，常用下列方法改变爐膛水冷壁管的面积：

- a. 減少加水冷壁管的程度；
6. 部分水冷壁上遮盖一層耐火材料。

水冷壁上被耐火材料遮盖住的这一段叫做燃燒帶。

减少加水冷壁的程度，会給爐牆的暴露地方造成严重的不利条件。因此，这种方法在最近的鍋爐結構中未被採用。

水冷壁表面遮盖耐火材料这种方法已广泛推行，因为这种燃燒帶的破坏並不牽連到爐牆，故不会使它的坚固性受到破坏。此外，这种燃燒帶的構造易於根据所用燃料的特性来改变它的尺寸。

实践証明：目前所採用的燃燒帶的結構大部分不够坚固、耐用，並往往成为破坏爐膛正常燃燒的原因。

在个别情况下，燃燒帶的破坏甚至也能引起停爐的必

要。

修复燃烧带，要耗费许多供应量很缺乏的耐火材料①，
并且需要大量的人力。

下面介绍苏联国家地区发电厂及线路改进局 (ОГРЭ
ПС) 从很多发电厂内所蒐集的资料，这些资料指出，燃烧
带的寿命基本上不超过 2—3 个月，也就是说少于两次小
修之间的间隔时间。燃烧带的损坏，大部分都是不均匀的，
这样就破坏了某些露在外面的水冷壁管内的水循环作用，
以致在许多情况下发生了事故。

在水冷壁上装置燃烧带时，如果管距大于管子直径的
1.5 倍，那么，在管子上固定耐火材料就没有什么特别困难。
如果管距小于管子直径的 1.5 倍，要在管子上固定耐
火材料则会发生相当大的困难。可靠地固定耐火材料，是
一件很不容易的事情，事实上这个问题到最近为止尚未徹
底得到解决。

为了了解工作条件和破坏的原因，把在电站部 (МЭС)
所属发电厂的锅炉膛里所装置的各种构造的燃烧带，及
苏联国家地区发电厂及线路改进局试验室所建议的数种构
造的燃烧带的运行经验，加以综合。

① 按照电站部的临时标准，燃烧带表面每平方公尺需要耗費耐火材料
0.7—0.8 吨/年。

II. 燃燒帶工作的溫度條件

使燃燒帶破壞的过程与爐膛温度有很大关系。由於溫度的上昇焦渣(又名焦子)對於耐火材料的腐蝕作用急剧加強，燃燒帶中的热应力亦增大，在其上則产生裂縫和損坏現象。

燃燒帶的表面溫度直接影响到耐火材料的坚固性。它的設計構造應該作成这样，即朝向爐膛的燃燒帶表面最高溫度，不得超过耐火材料按工作可靠性而言的最高容許程度。这溫度与材料的物理-化学特性有关。關於各種牌号耐火材料的溫度選擇問題，在下章中討論。

完全可以了解，表面溫度愈低，燃燒帶的工作条件愈容易，但是在低溫度的情况下，又不能保証爐膛稳定而經濟地工作。

在另一方面，欲使燃燒帶表面的溫度低，就要將它的厚度減少，如此則大大地降低了它的机械强度。由於測量方法的复杂，这种溫度的实际数值，即使也曾进行过測量，但很明显，数据也是有着一定的限度的，因为燃燒帶表面溫度真正数值的可靠数据在文件中还無記載。

这溫度可借計算方法，由下面热平衡方程式得出

$$C_1 \left[\left(\frac{T_1}{100} \right)^4 - \left(\frac{T_{cm}}{100} \right)^4 \right] = \frac{(t_{cm}^{\kappa} - t_{cm}) \lambda \cdot e}{S_0} 1,$$

式中 C_1 ——辐射系数(大卡/公尺²•°C•小时);
 T_1 ——爐膛温度(°絕對温度——即°K);
 T_{cm}^n ——向爐膛一面的燃燒帶表面溫度(°絕對温度
——即°K);
 t_{cm}^n ——同上(°C);
 t_{cm} ——管壁溫度(管壁溫度变化很小, 故採用常数
(°C));
 λ ——燃燒帶材料的导热系数(大卡/公尺•°C•小
时);
 e ——在每一平方公尺的爐牆上, 与磚相接触的管
子的表面积(公尺²/公尺²);
 S_0 ——燃燒帶的平均厚度(通过这个厚度把热傳到
管子上)(公尺)。

等式左边为燃燒帶表面每平方公尺所承受的輻射熱
量。右边为每平方公尺燃燒帶傳給水冷壁管的热量。

应注意, 本公式只適用於燃燒帶材料为一种物質时,
並且在耐火材料靠近管子的地方, 留有空气間隙, 这一部
分間隙的热阻力沒有計算在內。

为了查明各种因素對於燃燒帶表面溫度的影响, 曾經
作如下的近似計算。

用三种导热系数不同的材料, 在不同厚度和不同爐膛
溫度的条件下, 分別求出燃燒帶的表面溫度。

計算时所採用的常数为:

① 罗馬金著的“煤粉爐膛水冷壁表面的結構和运行”苏联国立动力出版
社, 1933年出版。

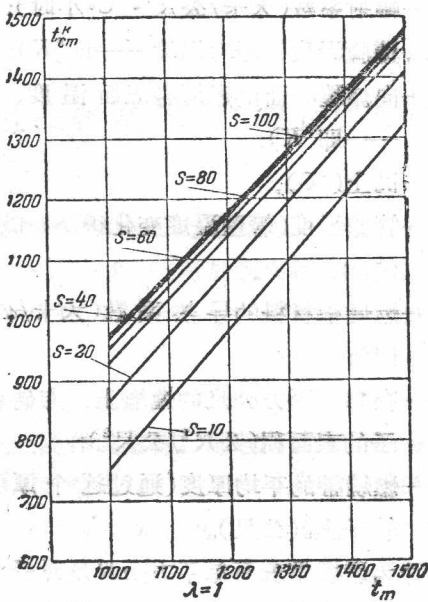


圖 1 爐膛溫度 t_m 和燃燒帶厚度 S 對於燃燒
帶表面溫度 t_{cm}^k 的影響

輻射系數(對於無烟煤 $C=3$)，水冷壁的管壁溫度 $t_{cm}=300^\circ\text{C}$ ，以及爐牆的填充系數 $e=1.0$ 。

計算結果如圖所示(圖 1, 2, 3)。

由圖可知，燃燒帶表面溫度與所用材料的導熱性有很大關係。例如，當燃燒帶的厚度為 40—60 公厘(在多數設計構造中經常採用)和 $\lambda=1$ 時，燃燒帶的表面溫度將接近於爐膛溫度，當 $\lambda=4$ 時，燃燒帶表面溫度將比爐膛溫度低 150—180°C，而當 $\lambda=10$ 時，則與爐膛溫度相差 300°C。

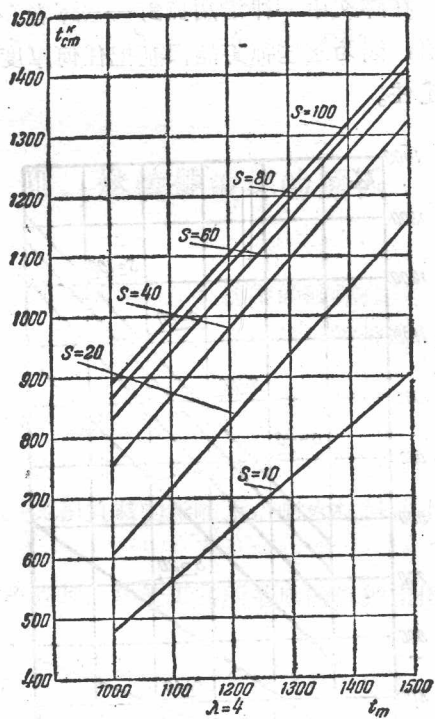


圖 2 爐膛溫度 t_m 和燃燒帶厚度 S 對於燃燒帶
表面溫度 t_{cm}^{κ} 的影響

用減少燃燒帶厚度的方法，可以得到降低燃燒帶表面溫度的效果。但是，必須注意到，太薄的燃燒帶在構造上是不堅固的。

在這一點上，帶抓釘（又名管刺或爬釘，不過它的主要用途是抓固燃燒帶，故命名為抓釘比較恰當，為了統一

概念起見，在譯文中一律沿用抓釘——譯者)的水冷壁是最好的結構，因為這些抓釘能保証把任何厚度的燃燒帶都很好地固定住。

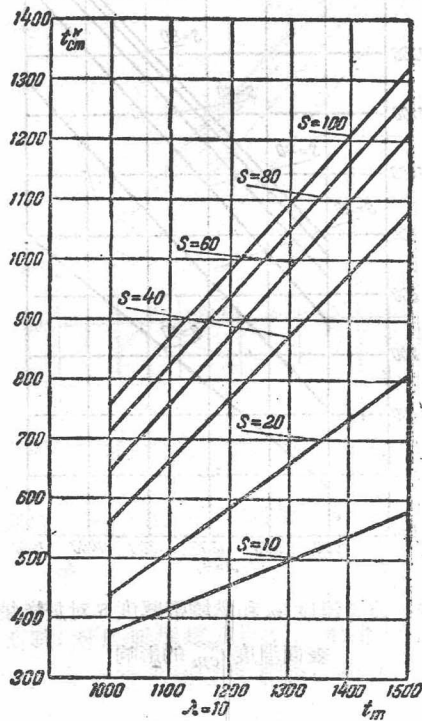


圖 3 爐膛溫度 t_m 和燃燒帶的厚度 S 對於燃燒
帶表面溫度 t_{cm}^s 的影響

因而適當地選擇燃燒帶的厚度和材料，便能使其表面溫度既適合於燃料的燃燒條件，又能保証不致受到焦渣腐

蝕——焦渣腐蝕是破坏燃燒帶的主要原因。

III、燃燒帶破壞的原因

以下各種過程能夠引起燃燒帶的破壞：

1. 焦渣的腐蝕，也就是說耐火材料被流動的熔渣所溶解。

2. 由於熱應力的緣故產生裂縫。

對於裂開的抵抗力，叫做抗熱強度（或稱耐熱性）。

3. 在高溫度和負載的影響下，耐火材料軟化，引起變形。

4. 在打焦渣時，除渣工具所造成的機械損傷以及灰和煤粉的磨損。

燃燒帶耐火層的結構通常分段支持，因此由於燃燒帶本身重量所引起的負載應力是不大的，照例，不超過 $0.5-0.8$ 公斤/公分²。大多數牌號的燒粘土磚，當均勻地承受 $1350-1400^{\circ}\text{C}$ 的溫度時，許可負載達 2 公斤/公分²。

在沿燃燒帶厚度方面的實際平均溫度不大於 $800-1000^{\circ}\text{C}$ 。

由於除焦和受灰及煤粉磨損所產生的機械破壞，僅限於局部，因此對於燃燒帶的壽命不會有多大的影響。

如果燃燒帶的構造不能保證自由膨脹，則水冷壁管受

热膨胀后的移动能引起更严重的机械破坏，所以裝燃燒帶时，应預先考慮到这种破坏的可能性。

因此，燃燒帶的破坏，也就是它寿命的長短，基本上由兩個因素来决定，即：

焦渣腐蝕及热应力作用。焦渣对耐火材料的腐蝕是極其复杂的物理-化学过程，这种过程包括：耐火材料在焦渣中溶解、耐火材料与焦渣在一起形成易熔的結合物(共晶体)以及流动的熔渣对於耐火材料的机械破坏等。

物理-化学相互作用的过程——耐火材料的溶解和易熔混合物(共晶体)的生成与耐火材料和焦渣的化学成分、燃燒帶向着爐膛的表面温度，以及耐火材料与焦渣之間的反应面积大小有关。

当焦渣內含有鹼 Na_2O ; K_2O 及大於百分之十的氧化物 Fe_2O_3 ; CaO ; MgO 时，则它与普通成分組成的燒粘土耐火材料之間相互作用的活动性，就大大提高了。

如果在焦渣內鋁矾土 (Al_2O_3) 和氧化硅 (SiO_2) 的含量增大，那末相互作用的活动性就要減低。

對於溶解过程及化学反应速度有影响的，首先是溫度。

由於溫度的昇高，溶解及化学反应的速度都加快。

兩個过程——溶解及易熔混合物的形成——沿着焦渣与耐火材料相接触的表面产生，因而它們的作用强度同样与其面积大小有关。

同时應該理解到，所謂焦渣与耐火材料相互作用的表面不仅是指外表面，而且也包括被焦渣滲入的耐火材料气

孔内部表面。所以耐火材料愈松，焦渣腐蚀作用愈强。除松度外，焦渣与耐火材料间反应面积的大小还与焦渣的粘度有关。在粘度大时，焦渣不能很深入地渗入耐火材料内，粘度小就相当于流动性高，这时焦渣便能足够深入地渗入耐火材料内，使它腐蚀。

大家知道，当温度升高时，焦渣的粘度急剧下降。焦渣的粘度与温度的相互关系从下面的公式可以看出：

$$\eta = A \cdot t^z - B,$$

式中 η ——焦渣粘度，泊 (пояз);

A, B, Z ——对于一定焦渣的常数;

t ——温度 ($^{\circ}\text{C}$)。

从上述可見，温度对于焦渣腐蚀过程的影响，不仅是加速了它的化学反应及溶解作用，而且也增加了熔渣向耐火材料内的渗入作用，致使耐火材料严重地受到破坏。

流动的熔渣对于耐火材料的机械破坏，也加剧了焦渣的腐蚀作用，因为在这种情况下，耐火材料常常有新的表面暴露出来。

我們不能改变焦渣的化学成分，因为这种成分是由爐膛内所烧的燃料来决定的。

因而有必要按照焦渣的特性及现有的成分，选择足以保证燃烧带工作坚固性的合适耐火材料。

在选好耐火材料后，我們應該确定能保证有可靠抵抗熔渣腐蚀性的最高容许温度。

目前，还没有测定耐火材料抵抗焦渣破坏力的标准方法①。只有一些间接试验方法以及耐火材料在爐膛内实际

工作的一些資料，按所有这些資料，只能概約地指出，耐火材料和焦渣在一定条件下相互配合的許可溫度。

第一種試驗方法是，把焦渣和耐火材料的混合物做成三角錐，然后求出它变形时的熔化溫度。

在表 1 中列举着耐火材料松度的資料，及牌号为 T 的頓巴斯煤焦渣和几种耐火材料混合物的可熔性的資料。

由此表中可以看出，当耐火材料中 Al_2O_3 的含量增加时，混合物的三角錐变形溫度也升高。但是在所有的情况下，这种溫度低於純耐火材料的溫度而高於純焦渣的溫度。

根据用混合物做成的样品的变形溫度，考慮到耐火材料的松度，就可定出燃燒帶表面的極限溫度。

表 1

序号	耐火材料的名称	耐火材料的松度	焦渣三角錐的变形溫度	耐火材料三角錐的变形溫度	由焦渣及耐火材料混合物作成的三角錐的变形溫度 混合物中含：耐火材料…60%和焦渣…40%
1.	25% Al_2O_3 的燒粘土	16.8%	1150	1625	1355
2.	35% Al_2O_3 的燒粘土	14.9%	1150	1680	1480
3.	高氧化鋁燒粘土， Al_2O_3 含量为 40%	16.7%	1150	1730	1600
4.	高氧化鋁燒粘土， Al_2O_3 含量为 60%	18%	1150	1800	1680
5.	可塑性鉻鐵矿制的耐火材料， Cr_2O_3 含量为 36%	5—8%	1150	1750	1300

① 全蘇標準 (OCT) 3270 所規定的關於測定抵抗焦渣腐蝕性的方法，建議用於平爐渣。

按照表內的資料，可以大約地規定出耐火材料抗焦渣腐蝕的極限溫度如下：

燒粘土耐火材料

(Al_2O_3 的含量為 25—35%) 1300—1380 °C

高氧化鋁燒粘土

(Al_2O_3 的含量為 40—40%) 1380—1450 °C

鉻銹矿制成的耐火材料 1300 °C

對於燒粘土和高氧化鋁耐火材料，這種許可溫度還要用其他研究來證明適合。

損壞的另一種形式——因熱應力而產生的裂縫，對於燃燒帶的破壞影響略小於焦渣腐蝕對它的破壞。但是在某些條件下這種破壞可能也是很嚴重的，由於受熱而產生的裂縫，加強了焦渣的腐蝕作用，因為液態的熔渣滲入裂縫內，增加了焦渣和耐火材料的接觸面。

可能產生裂縫的原因有二：當爐腔溫度急劇變化時，例如在火焰中斷的情況下，結果使沿着爐牆厚度方向產生溫度差，引起剪切應力。由於爐膛內燃燒情況的急劇變化而產生的裂縫，對於燃燒帶的壽命不能有多大的影響，因為爐膛內燃燒情況的突然變化只是偶然的現象，在正常條件下很少遇到。因此這個因素我們不予考慮。

燃燒帶層中的熱應力是有更嚴重的影響的，往往會使燃燒帶破壞。

剪切應力可按下面的公式求得：

$$\sigma_{\text{剪切}} = \frac{G I \alpha (t_1 - t_2)}{2h} \text{ 公斤/公分}^2,$$

式中 $\sigma_{c\theta\theta u a}$ ——剪切应力(公斤/公分²);
 G ——耐火材料的剪切彈性系数;
 l ——与热流相垂直的平面上耐火制品的最大尺寸
 (公分);
 α ——耐火材料热膨胀系数;
 h ——耐火材料的厚度(公分);
 t_1 ——燃燒帶向火一面的温度(°C);
 t_2 ——燃燒帶向管子一面的温度(°C)。

對於燒粘土耐火材料 G 約等於 1×10^5 公斤/公分²,
 $\alpha = 6 \times 10^{-6}$ 。

耐火材料的厚度減少，則溫度差 $\frac{t_1 - t_2}{h}$ 便增大，因为
 分數中分子的減少要比分母的減少小得多。可見隨着耐火
 材料厚度的減少，熱應力及裂開的危險性將增加。

因此，當燃燒帶厚度減少時，它的表面溫度就降低，
 由於這種緣故，焦渣腐蝕也減少，但同時沿着截面的溫度
 降增加，熱應力也增加。所以選擇燃燒帶的適宜厚度時應
 考慮到這兩個因素。

按這些條件，導熱性高的耐火材料比其他耐火材料更
 適合於做燃燒帶，因為這種導熱性高的耐火材料表面溫度
 較低，允許裝置較厚的燃燒帶，從而就減少了沿截面的溫
 度降。

幾種不同材料的燃燒帶內所產生的剪切熱應力示於表
 2 中。

應力可按下列公式求得：

$$\sigma_{c\theta\theta u a} = \frac{G \cdot l \cdot \alpha (t_1 - t_2)}{2h} \text{ 公斤/公分}^2,$$

表 2

耐火材料的名称	燃烧带厚度 (公厘)	在下列爐溫温度时的剪切应力 公斤/公分 ²		
		1300°C	1400°C	1500°C
燒粘土 ($G=1 \times 10^5$, $\alpha=6 \times 10^{-6}$)	60	720	800	870
	40	1040	1200	1250
	20	2050	2250	2450.
	10	3600	4150	4700
鉻鐵矿 ($G=4 \times 10^5$, $\alpha=9.2 \times 10^{-6}$)	60	5700	5900	6400
	40	6300	7200	7800
	20	11 300	12 900	15 000
	10	1400	1740	1920
金鋼沙 ($G=2 \times 10^5$, $\alpha=4.7 \times 10^{-6}$)	60	810	940	1080
	40	1000	1200	1380
	20	1300	1550	1780
	10	1400	1740	1920

表 2 的資料說明，倘燃燒帶厚度減少，熱應力便大大增加；用具有高導熱性的金鋼砂作成的燃燒帶則屬例外。

此外，當產生的熱應力相當小時，金鋼砂耐火材料，有着很高的機械強度。

由於軟化變形和存在着裂縫（裂縫在某種程度上起着伸縮縫的作用）實際發生的熱應力將減少。

IV、燃燒帶的構造

根據水冷壁表面管距的尺寸，可將燃燒帶的構造分作